

《化工译丛》

化工过程及设备

第四辑

(过滤专辑)

化工过程及设备译丛编译组编

上海市科学技术编译馆

化 工 过 程 及 设 备

第 四 輯

(过 滤 专 輯)

化 工 过 程 及 设 备 译 丛 編 译 組 編

*

上 海 市 科 学 技 术 編 译 館 出 版

(上 海 南 昌 路 59 号)

新 华 书 店 上 海 发 行 所 发 行 各 地 新 华 书 店 經 售

商 务 印 书 館 上 海 厂 印 刷

*

开 本 787×1092 1/16 印 张 7 字 数 217,000

1965年2月第1版 1965年2月第1次印刷

印 数 1—6,000

編 号 : 66 · 257

定 价 : 0.90 元

目 录

1. 过滤理論	1
2. 滤餅的阻力与压缩性	11
3. 澄清有关液体过滤的某些錯誤概念	27
4. 过滤设备的设计	31
5. 实用过滤计算公式	38
6. 现场条件下的过滤性能	43
7. 过滤的技术革新	46
8. 离心设备的理论	51
9. 离心设备的设计	56
10. 离心设备的应用	62
11. 离心过滤	69
12. 加压叶滤机	73
13. 多管式过滤器	77
14. 金属陶瓷过滤器	78
15. 不形成滤饼的过滤方法使悬浮体濃稠	82
16. 过滤介质	86
17. 助滤剂有助于过滤	99
18. 由设计性质的相似将过滤关联到传热	102
19. 熔盐在传热过程中的应用	106

81.17
125
4:4

I. 过 滤 理 論

Theory of Filtration Equipment

F. M. Tiller, C. J. Huang

自然界和人的操作过程中，单相和复相流体流过細粒床层的情况极为广泛地存在着。尽管在过滤、比表面积的测定、地下水水流、石油储槽、钻井中的泥浆流动、滤饼的洗滌、涉及細粒群的气溶胶过滤、颗粒附聚、渗滤、填充塔內的两相流动、流过陶瓷及多孔烧結金属的流动、增稠和澄清、胶体的絮凝、以及填充床的排液和干燥等这样广泛分散的范围内，这种流动情况极为重要，但其实驗性和理論性探討方面受人重視的程度，比之傳热和傳质却相对地少。

若干因素妨碍了过滤和通过多孔介质的流动等学科的进展。首先，即使是极为简单的模型也是錯綜复杂，就使研究者們解决这个問題的企图受到挫折。其次，形成滤床的颗粒和沉淀物，其特性难于复制。研究者不仅要处理困难的流动問題，而且还必須与晶体形成和絮凝作用的这些現象作頑強的斗争。第三，搞教学工作的年輕人倾向于承担热力学、热量傳递和质量傳递等較为成熟学科的工作。

尽管过滤过程这門学科未曾受到重視，但是近数年来它还是取得相当大的进展的。1946年Ruth^[10]提出的压缩渗透槽以及1952年出版 A. I. Ch. E. 过滤丛論等种种进展，使得过滤過程理論性和實驗性研究的发展获得了轉折点。过去七八年内建立起来的少量却是重要的知識，可以作为基础研究和工业过滤器設計等发展前途上更具实际意义的过渡桥梁。

液体及气体流过固体床层理論的发展得助于基础学科之处甚多，但仍感不足。极慢运动的流体力学、摩擦、动电現象的基本概念、颗粒床层、絮凝作用、毛細管現象以及压缩性等統計性的研究，都对流过多孔介质的控制定律研究，起了决定性的实际作用。虽然經驗論者仍在分析式的有用公式方面占着优势，但是理論性的进展正对着基本現象的闡明，开始起着带头作用。液体流过可压缩多孔介质的理論，已从不同观点上开辟出种种途径。

涉及經驗阻力和压缩系数的微分方程式是实际

計算公式的主要来源。应用 Darcy 渗透系数和 Ruth 比滤阻的方程式，业已出現。二者中的任一种系数都必定与固体压缩压力发生實驗关系。虽然流体流过滤床的流动，几乎往往是粘滞的，但是由压缩压力决定的渗透性和多孔性之間尚无可靠的理論关系。这里尚留着一片空白地，非常需要人們作一根本性的突破。

流过滤床层的基本实质是压缩現象，但是研究得不够。滤饼的本性、空隙分布、流速以及压力降都与滤饼的压缩发生直接关系。研究者只能得到一些积累很不充分的實驗数据。由于压缩性是一个复杂的过程，其中涉及摩擦的基本概念、力的傳递、細粒的移动、以及颗粒的形状和定向，很可以預料它的理論性进展是会比較緩慢的。

渗透性及压缩性都与床内颗粒的本性和排列存在着密切关系。在試圖建立的一个机械模型中，曾把流动过程形象化成象在坚硬球形颗粒組成的理想床层內所发生的那样。不幸，这一工作未曾用充沛的毅力繼續下去，以致未能获得重要結果。用奈維-斯托克司(Navier-Stokes)方程对复杂的边界情况所得到的数值解法，可以增进我們对孔隙率和渗透性之間关系的理解。

流过复杂渠网流道的流动，可从統計学觀点着手处理。虽然統計学方法在某些范围内曾被采用^[11]，但其結果尚未受到广泛的注意。

研究者們研究流过可压缩多孔介质的流动过程的主要目的，在于找出下列一些因素之間的关系；即物料通过的体积、总压力降、流速、平均床层孔隙率、沉积固体的质量与时间。采用公式来表示各种变量的平均值和积分值时，研究者必須考慮到各种内部和局部現象。他們先得意拟一些細粒床层的模型^[9]，接着意拟一些流体通过固体間隙的流型。至于决定那些可以支配颗粒和引起压紧的摩擦流动之間相互的規律，则是任何基本研究的基础。

虽然研究者們旨在研究流动过程的理論分析和

基本理解，但目前經驗性的及描述性的分析，仍必須繼續作为研究流过多孔介质的流动过程的重要組成部分。

摩擦阻力和固体压缩压力

当悬浮的固体在滤饼过滤中沉积下来时，液体沿着水压梯度降低的方向在可压缩床层間隙中流过。固体被篩孔、滤布、多孔金属物或其他固体床层如隔板或过滤介质等所截留。固体形成的滤饼，在介质处是紧密而干燥的，可是它的表面层则是处于潤湿而呈薄湯状的情况。孔隙率以在滤饼与介质的接触点上即 $x=0$ 处(图 1)为最小，而在液体进口的表面上($x=L$)为最大。液体流过空隙时的摩擦阻力使得孔隙率降低。

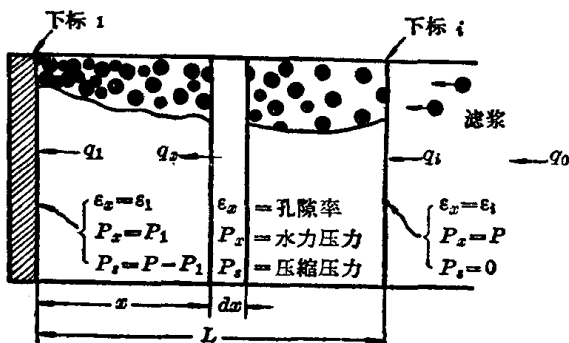


图 1 滤饼示意图

在图 1 中，颗粒形成滤床，指出了孔隙率随着液体流过固体层到达隔膜而逐渐降低。图 2A 示出液体有摩擦地沿着多孔介质內颗粒群之間流过的情况。各个颗粒的阻力依次传递至后一个；因而，愈接近介质的固体其净压缩压力愈大，这就說明了孔隙率愈会降低。

大多数过滤过程中的流动是粘滞的，理論上阻力和水力压降可适当运用奈維-斯托克司方程式来算出。实际上，床內颗粒的几何外形的知识，还不足以用来根据基本微分方程的解法而进行計算。但有可能得出压缩力和液压降之间的关系。

作为第一个基本要求的是，假定颗粒群之間的接触为点接触(图 2)，并且液体充分潤湿每一颗粒，同时沿着垂直于流动方向的平面上均匀地传递液体压力。在这假定下，由于接触面积很小可以略而不計，则滤饼的全部横截面上的水力压力 p_x 是有效的。在微分距离 dx 内，整块上的淨力为

$$\text{淨力} = F_s + dF_s + A(p_x + dp_x) - F_s - Adp_x^* \quad (1)$$

这力相等于在 dx 内的质量和加速度的乘积。这个微分质量既包括液体质量 $\epsilon_x \rho A dx$ 又包括固体质量

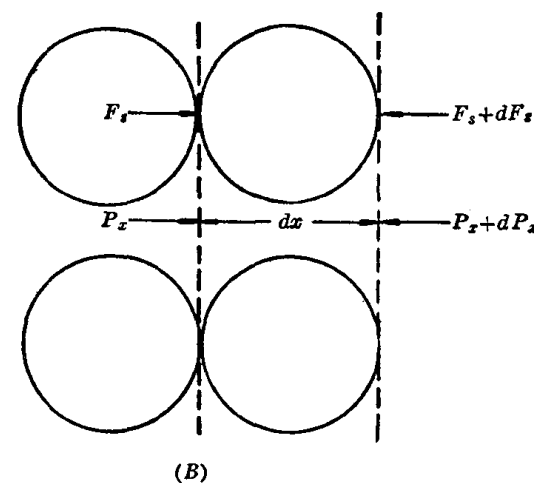
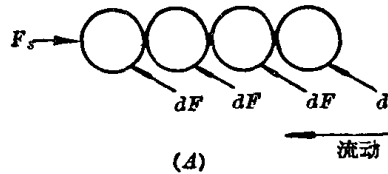


图 2 由于摩擦阻力而引起的压缩力

$(1 - \epsilon_x) \rho_s A dx$ 。虽然固体在滤饼內实际上は向介质移动的，但其加速度是小至可以略而不計的。液体的平均速度一般是低于 0.004 呎/秒(1 加侖/(呎²)(分)，孔隙率为 0.5)，所以它的加速度也是可以略而不計的。因此方程式(1)可以写成

$$dF_s + Adp_x = 0 \quad (2)$$

固体虚假压缩压力定义为 $p_s = F_s / A$ ，得

$$dp_s + dp_x = 0 \quad (3)$$

积分给出

$$\frac{F_s}{A} + p_x = p_s + p_x = p \quad (4)$$

这里 p 是在滤饼表面上應該施加的过滤压力。

实际滤饼中，颗粒間的接触面积 $A_c = cA$ 是很小的，固体压力可以定义为 F_s / A_c 。除了颗粒变形外，此定义并无实际用处。可是，对于面接触而不是点接触时，方程式(2)可以修改为

$$dF_s + (A - A_c) dp_x = 0 \quad (5)$$

积分后，这方程式成为

$$p_s + \left(1 - \frac{A_c}{A}\right) p_x = p \quad (6)$$

当 $A_c / A = 0$ 时，方程式(6)回复为(4)。在现阶段过滤理論中，似乎假定 $A_c / A = 0$ 是正确的。

孔隙率作为固体压力的函数

多孔床孔隙率可以作为凝固測定器或压缩-渗

* 原文恐有誤，应为 $A p_x$ ——譯者注

透槽內^[10,16]施加壓力的函數而加以測定。很多物質的数据都可獲得^[1,2,6,8,12,13,16]。不幸，同樣的化學物質却由於顆粒大小和形狀的不一可能給出大不相同的 ϵ_x 對 p_s 的關係。總之，過濾學科還未進展到可以使濾餅的孔隙率與物質的物理性質的關係互相聯繫起來。因而，研究者必須對每種新情況取得它自己的數據。

對於中等可壓縮性的固體^[12,13,15,16]，在壓力為100磅力/吋²範圍內，孔隙率可用幕函數表示

$$\epsilon_x = \epsilon_0 p_s^{-\lambda} \quad p_s > p_i \quad (7)$$

此处 p_i 是低壓，範圍大概在0.1到1.0磅力/吋²之內。低於 p_i 時，孔隙率達到一極限值 ϵ_i ，它表示處於零壓時的濾餅孔隙率。指數 λ 常在0~0.05之間變化。大多數孔隙率的範圍在0.4~0.9之間。

為了要把濾餅內的孔隙率和壓緊槽中的孔隙率聯繫起來，作了第二個假定，即濾餅內的固體壓縮壓力由公式 $p_s = p - p_x$ 間接算出而等於槽內的壓緊壓力時，餅和槽中的孔隙率恰恰相等。這個非常重要的假定，只是取得間接證明和計算的支持，終未得到直接証實^[12,13]。

濾餅內水力壓力和孔隙率的變化

濾餅內的水力壓力受到下列因素的影響：流速 q_x ，濾阻 a_x 和孔隙率 ϵ_x 以及其他參數。圖3示出若干物質的變量 p_x/p 作為 x/L 的函數^[19]。Tiller及Cooper^[18]指出下列關係式為水力壓力變化的近似式

$$1 - \frac{x}{L} = \left(\frac{p_x}{p} \right)^{1-n-\beta} \quad (8)$$

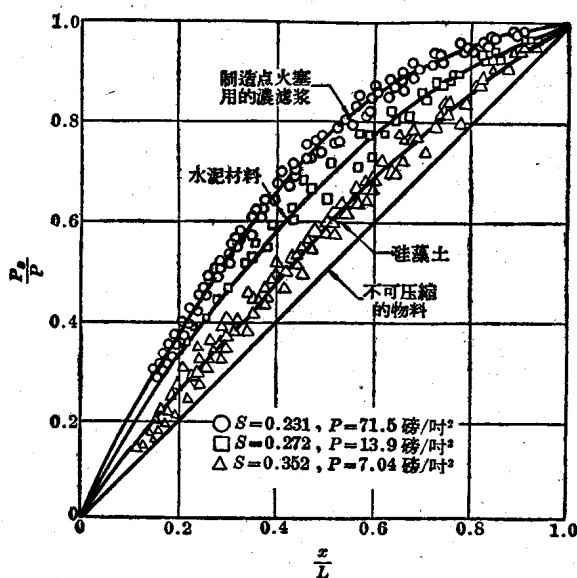


图3 水力压力分布

此处， n 是壓縮系數， β 為下列關係式中的指數

$$1 - \epsilon_x = B p_s^\beta \quad p_s > p_i \quad (9)$$

指數 β 一般在0到0.25內變化。由於大多數物質在壓力為0到100磅力/吋²範圍內 ϵ_x 的相對變化很小，這就可能將方程式(7)中的 ϵ_x 和 $(1 - \epsilon_x)$ 二者均表示為 p_s 的幕函數。

濾床的平均孔隙率是重要的，因為它可以決定濾渣中的液體含量。基於方程式(7)，平均孔隙率的近似表示式為^[8]

$$1 - \epsilon_{av} = B \left(1 - \frac{\beta}{1-n} \right) p^\beta \quad (10)$$

$$= (1 - \epsilon_{av_0}) \left(\frac{p}{p_0} \right)^\beta \quad (11)$$

此处 ϵ_{av_0} 是在壓力為 p_0 時由實驗決定的平均孔隙率值。方程式(11)甚為有用，因為應用此式時所需數據很少。實際過濾所得的平均孔隙率，再加上從凝固測定器所得的 ϵ_x 對 p_s 的数据，已足夠計算方程式(11)中 ϵ_{av_0} ， p_0 和 β 等值之用。對於厚漿以及受壓力而孔隙率變化很大的固體，使用方程式(11)時應加謹慎。

可壓縮床層的孔隙率變化，可由水力壓力的實驗值^[12,13,19]或由壓縮滲透槽數據^[12,20]的計算而間接確定。大多數情況下，孔隙率僅為 x/L 的函數。結合方程式(7)及(8)，得出下列幕函數關係

$$\frac{\epsilon_x}{\epsilon_1} = \left(1 - \frac{x}{L} \right)^{-\frac{\lambda}{1-n-\beta}} \quad p_s > p_i \quad (12)$$

方程式(12)中的指數允許作很大的變化。

流速隨着床層厚度的變化

多年來，一直認為整個濾餅的流速 $q_1 = dv/d\theta$ 是一常數。有人主張進入濾餅表面的流速必須等於從介質處流出的流速，這裡的介質是曾經用濾餅內滯留的液體作過校正的。一般，每單位面積干固體的質量 w 和每單位面積內過濾容積 v 的關係，可用Tiller方程式^[15]示之如下

$$w = \frac{sp}{1-ms} v \quad (13)$$

濕濾餅質量對干濾餅質量的平均比值 m ，在過濾開始的第一分鐘內迅速地起了變化（變化是否拖長，則由於數據不足不能舉出具體例子），然後基本上成為常數。當 m 為常數時， $dw/d\theta$ 正比於 $dv/d\theta$ 。可是，在短的回轉過濾中，常數 m 的假定是不可靠的；並且引用的方法也存在著很大疑問。

圖4示出孔隙率的變化作為 x 及 θ 的函數。固體內每點上的孔隙率都隨時間的增加而降低；因而，

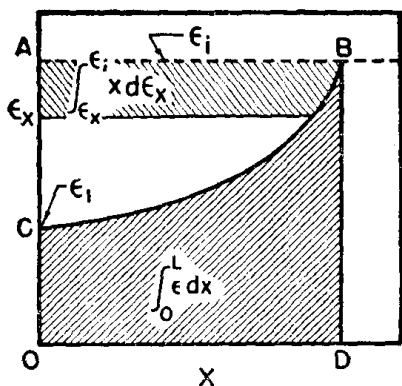


图4 $q_x - q_i$ 对 $q_1 - q_i$ 之比的关系图解。以 $\int_{\epsilon_x}^{\epsilon_i} x d\epsilon_x$ 表示的面积与 $q_x - q_i$ 成正比。面
积 ABC 与 $q_1 - q_i$ 成正比

液体从每一单元体积中被挤出。因为液体流动是渐增的，流速当然随着接近过滤介质而增加。如果滤饼内并无压缩作用存在，则孔隙率是均匀的且等于 ϵ_i ，此值为无穷小表面层上的值，该处 $p_s=0$ 。图4中面积 $ABDO$ 表示在未加压缩的滤饼内每单位面积所含有的液体体积 $\epsilon_i L$ 。处于 ϵ_x 对 x 的曲线下方的面积 CBD 等于 $\int \epsilon_x dx$ ，表示滞留在滤饼孔内的液体体积。所以，位于孔隙率曲线左面的面积 ABC 等于 $\int x d\epsilon_x$ ，相当于从滤饼内被挤出的液体。

滤饼表面的流速和在介质处的流速之比，曾由 Tiller 及 Cooper^[17] 给出

$$\frac{q_i}{q_1} = \frac{1 - m_i s}{1 - ms} = 1 - \frac{(m_i - m)s}{1 - ms} \quad (14)$$

此处 m 为湿滤饼质量与干滤饼质量比的平均值， m_i 是无穷小表面层上的数值。数量 m 与孔隙率的关系是

$$m = 1 + \frac{\rho \epsilon_{av}}{\rho_s (1 - \epsilon_{av})} \quad (15)$$

随着 s 的增加和 $(1 - m_i s)$ 趋近于 0，比值 $\frac{q_i}{q_1}$ 也会降低而趋近于 0。当 s 是 0 时，比值为一，流过整个滤饼的流速为一常数。滤浆浓度对流速变化的影响，与液体从滤饼内被挤出的流速和在介质处流速之比有关。如滤浆是稀薄的，通过滤饼的液体流量较之于被压缩所挤出的液量来说要大得多。另一方面，当滤浆是浓的，滤饼的厚度就会迅速地增加；从滤饼内挤出的液量可以大于在表面层处的流速。在极限情况下，滤浆浓度为 $s = 1/m_i$ 时，泵送的是固体而不是滤浆；净液体流速 q_0 为 0，因此得 q_i/q_1 之比为 0。

流速间的关系可用下式表示^[19]

$$\frac{q_x - q_i}{q_1 - q_i} = \frac{\int_{\epsilon_x}^{\epsilon_i} (x/L) d\epsilon_x}{\int_{\epsilon_1}^{\epsilon_i} (x/L) d\epsilon_x} \quad (16)$$

此处分母的积分等于 ϵ_x 对 x/L 曲线左面的全部面积，分子的积分等于 ϵ_x 与 ϵ_i 之间的面积。以 q_i/q_1 代入方程式(16)，对 q_x/q_1 的解为

$$\frac{q_x}{q_1} = 1 - \left[\frac{m_i - m}{1 - m_s} \right] s \left(\frac{x}{L} \right) \left[\frac{\epsilon_x - \epsilon_{av} x}{\epsilon_i - \epsilon_{av}} \right] \quad (17)$$

此处 ϵ_{av} 是 ϵ_i 和 ϵ_x 之间的平均孔隙率。 ϵ_i 及 m_i 是固定的值，而 ϵ_{av} 及 m 取决于总压力和滤浆浓度。所以， q_x/q_1 是总压力和滤浆浓度的函数，也是 x/L 的函数。

图5是对水泥材料，以 q_x/q_1 作为压力为 71.5 磅/吋² 时， w_x/w 和 s 的函数作图^[12,19]。极限曲线记为 $(q_x/q_1)_{lim}$ ，相当于用方程式(16)得到的 $(q_x - q_i)/(q_1 - q_i)$ 的标绘。当 $s = 1/m_i$ ，则 $q_i = 0$ ；比值 $(q_x - q_i)/(q_1 - q_i)$ 等于 q_x/q_1 。随着 s 的减小，流速随距离的变化不很显著。在 q_x/q_1 对 w_x/w 曲线下面的面积等于 J ，它由方程式(23)给出定义。

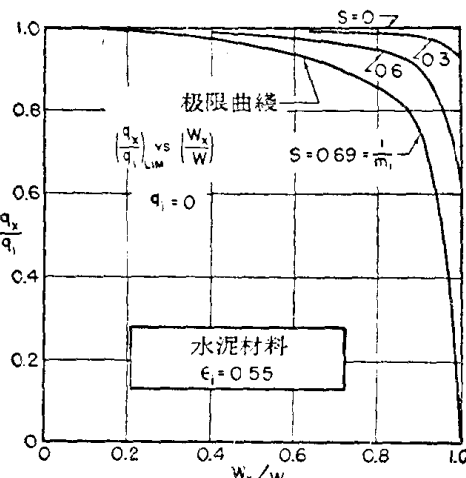


图5 水泥材料^[12]在 71.4 磅/吋² 压力下，
滤浆浓度 s 对 q_x/q_1 比的影响

局部滤阻

平均滤阻 α ，一般由下列方程式给出定义

$$\alpha = \frac{dv}{d\theta} = \frac{g_c p}{\mu(\alpha w + R_m)} \quad (18)$$

局部滤阻 α_x 则定义为

$$g_c \frac{dp_x}{dw_x} = - g_c \frac{dp_s}{dw_x} = \mu \alpha_x q_x \quad (19)$$

参阅图1的滤饼示意图。

根据实验数据，可以假定 α_x 仅是 p_s 的函数（它可被絮凝作用和滤浆浓度所影响），并且与滤饼内水力压力有关，情况与局部孔隙率相似。 α_x 的数值可

由压缩-渗透槽获得^[10], 或由平均值间接计算而得^[14]。当滤饼内的 $p - p_x$ 等于渗透槽内的 p_s 时, 基本上可以假定滤饼内和渗透槽内的 α_x 具有相当的数值。Grace^[3] 和 Shirato 和 Okamura^[13] 在文献中曾提出了很广泛的滤阻数据。

对于压力在 100 磅力/吋² 以内的中等压缩性材料^[13, 16], 接触点处滤阻对压缩压力的經驗关系为

$$\alpha_x = \alpha_0 p_s^n \quad p_s > p_i \quad (20)$$

$$\alpha_x = \alpha_i = \alpha_0 p_i^n \quad p_s < p_i \quad (21)$$

此处假定在某些低压力 p_i 时, α_x 趋近于极限值 α_i 。 α_i 的准确测定如同 ϵ_i 的准确测定都遇到同样的困难。实际上高度可压缩性材料在很低压力时的滤阻和孔隙率的数值, 还没有得到可靠的数据。由于某些計算对于 α_i 和 ϵ_i 值的变动非常敏感, 所以必须經常予以相当注意^[2]。

α_0 的数值是随着滤浆浓度的增加而降低的^[13, 16], 这可能是由于絮凝作用, 或由于滤饼结构的改变所致。

平均滤阻

方程式(19)可重排为

$$\int_0^w q_x dw_x = -\frac{g_c}{\mu} \int_{p-p_1}^0 \frac{dp_s}{\alpha_x} \quad (22)$$

此处 $g_c p_1 = \mu q_1 R_m$, 表示克服介质阻力所需要的压力。因子 J 定义为^[18]

$$J = \frac{1}{q_1 w} \int_0^w q_x dw_x = \int_0^1 \frac{q_x}{q_1} d\left(\frac{w_x}{w}\right) = \frac{q_{av}}{q_1} \quad (23)$$

项 q_x/q_1 可由方程式(7)得出。由于 q_x/q_1 小于 1, J 也将同样小于 1。如 q_x/q 是 w_x/w 或 x/L 的单值函数, 则 J 值与时间无关。一般对过滤时间较长时的 p_1 是小于 p , J 将为 p 和 s 的函数。这与 Tiller 和 Cooper 的說法相一致^[17]。当 $\epsilon_x, p_x/p$ 和 q_x/q_1 仅是 x/L 的函数时, 下列 α 的定义是有根据的

$$\alpha = \frac{J(p-p_1)}{\int_0^{p-p_1} \frac{dp_s}{\alpha_x}} = J\alpha_R \quad (24)$$

此处 α_R 是 $s=0$ 和 $J=1$ 时的阻力。由于含有因子 J , 这定义与过去所使用的不一致^[3, 8, 10, 15]。 J 依赖于滤浆浓度, 以及 p_1 依赖于出口的流速 $q_1 = dv/d\theta$, 所以滤阻可以写成概括函数形式

$$\alpha = f(p, s, dv/d\theta) \quad (25)$$

除了方程式(25)中的变量外, α 还可以被下列因素所影响:絮凝作用、由于浓滤浆作用而可能引起的滤饼结构改变、以及在短时间过滤中, 平衡值与压缩-渗透槽的平衡值同样地不易建立的情况。通常, 以上

这些影响可以預料在滤浆十分濃厚的短時間回轉过滤中为最大。絮凝作用和颗粒尺寸都可以大大地受到以前預滤过程的影响。改变温度、pH、攪动、以及反应时间等都能使沉淀物本性和过滤的困难程度引起变化。倘若大颗粒由于过份剪力作用而引起分散, 可以妨碍泵送。应用过滤理論的最大障碍之一在于 α 随着操作条件而变更的弱点。

过去常常忽視 α 随 p_1 的变化。可是, 只要过滤介质在整个阻力中占有可观分数, α 将会随 q_1 而变, 而其数值在过滤初期将低于它的极限值, 这点已有过論証^[17]。計算表明, 在 40 磅力/吋²恒压下过滤滑石的稀浆液 ($s=0.003$), 要使 α 达到它极限值的 90% 大約需要 7 分钟。在此例中, 介质阻力与极限滤阻之比約为 0.03。Grace^[6] 指示 R_m/α 比值一般是低于 0.1。

R_m/α 之比相当于过滤介质的阻力, 它可用每平方呎干固体的质量 w_c 来代替。介质的当量厚度給定为

$$L_{eq} = \frac{R_m}{\alpha \rho_s (1-\epsilon_{av})} = \frac{m R_m}{\alpha \rho_{av}} \frac{w_c}{\rho_s (1-\epsilon_{av})} \quad (26)$$

此处 $\rho_{av} = \rho \epsilon_{av} + \rho_s (1-\epsilon_{av})$ 。由于 α 随时间而增加, 而 ϵ_{av} 却随着而降低, 所以当量厚度是会随时間而降低的。滤饼的最小当量厚度的数量級, 可用 $R_m/\alpha = 0.03$, $\rho_s = 150$, 和 $\epsilon_{av} = 0.5$ 来計算。使用这些数值得到 $L_{eq} = 0.005$ 吋。在接近过滤开始的阶段, L_{eq} 的最大值可以很容易地达到 1 吋或更大。一般, 設計应以 L_{eq} 的最低可能值为目标。可是, 如果 L_{eq} 值在过滤开始时太小了, 可能是介质太敞开了, 而所得到的将是混浊的滤液。优良的設計应当取 L_{eq} 值在 0.01 到 0.06 吋範圍之内^[4]。

过滤理論的应用

过滤器的設計和操作与許多情况有关, 如:机械性质、选择最适当的制造費用和生产率、介质的选择、預涂层和添加助滤剂、洗滌和干燥、以及泵设备等。采用哪种型式的设备應該由滤浆和产品的濃度与性质来决定。绝大多数有关过滤設計的基本点是压力降、滤液体积、和时间之間的关系。本节将討論这些过滤情况。

方程式(22)可以重排成为包括因子 J 的形式如下

$$\int_0^w q_x dw_x = J q_1 w = \frac{g_c}{\mu} \int_0^{p-p_1} \frac{dp_s}{\alpha_x} \quad (27)$$

方程式(27)是把全部干滤饼的质量 w 与流速 q_1 和

压力 p 联系起来。解方程式(27)时, q_1 必須以 $dw/d\theta$ 或者 w 必須代以方程式(18)*, 这样可得

$$v = \frac{g_c(1-ms)}{\mu s \rho} \frac{1}{J q_1} \int_0^{p-p_1} \frac{dp_s}{\alpha_x} \quad (28)$$

此处 $q_1 = dv/d\theta$ 。在导出方程式(28)时, 假定 m 是常数, 因而短时间的回轉过滤是不遵循这个展开式的。为了解这方程式为一般式, 需要将 J 对 p 和 s 联系起来, q_1 对 p 联系起来。Tiller 和 Shirato^[2] 討論过 J 的計算。 q_1 和 p 的关系将依赖于泵送的輸出特性。

一般, 滤液体积、時間和压力間的关系应作确定。找出所需数值的第一步是使用方程式(28)求出体积作为 q_1 及 p 的函数。一旦 v 对 q_1 的曲綫确定后, 時間就可从下列积分式算得

$$\theta = \int_0^v \frac{dv}{q_1} \quad (29)$$

在任何过滤操作中, 需要获得 dp_s/α_x 的积分值, 或者由数值解法得出, 或者由对 α_x 的經驗式积分而得出。

如果 α_x 是由方程式(20)和(21)与 p_s 联系起来, 积分結果得

$$\int_0^{p-p_1} \frac{dp_s}{\alpha_x} = \int_0^{p_i} \frac{dp_s}{\alpha_i} + \int_{p_i}^{p-p_1} \frac{dp_s}{\alpha_0 p_s^n} \quad (30)$$

积分并併項后得

$$\begin{aligned} \int_0^{p_s} \frac{dp_s}{\alpha_x} &= \frac{p_i^{1-n}}{\alpha_0} + \frac{(p-p_1)^{1-n} - p_i^{1-n}}{\alpha_0(1-n)} \\ &= \frac{(p-p_1)^{1-n} - np_i^{1-n}}{\alpha_0(1-n)} \end{aligned} \quad (31)$$

如 n 为 0.5 或更小, 則在总压力超过 10 磅力/吋²时, p_i 項可以略而不計。可是如果 n 是 0.7, 則 p_i 項就不能略去了。当 n 再增大, 幂函数近似值就不够准确, 这时就应当采用数值积分方法。

变压-变速过滤

Jahreis^[7]发展了一种对变压-变速过滤的巧妙解法。他利用 α 及 p 間的幂函数关系。如 p_i 在方程式(31)中可以略去, 并以此結果代入方程式(28)得

$$v = \frac{g_c(1-ms)}{\mu s \rho} \frac{1}{J q_1} \frac{(p-p_1)^{1-n}}{\alpha_0(1-n)} \quad (32)$$

解 q_1 并取对数, 得

$$\log q_1 = (1-n) \log(p-p_1) + \log \frac{g_c(1-ms)}{\mu s \rho \alpha_0 J (1-n) v} \quad (33)$$

用 $\log q$ 对 $\log p$ 的形式把泵送特性結合在一起后, 方程式(33)能为解 q_1 对 p 和 v 的关系导致一快速

解法。此法的应用在例 1 中予以說明。

过滤过程的类型

为了进行計算, 可将过滤过程按照压力和流速对時間的关系来分类^[14]。一般, 泵送机理决定了流动特征, 并可作为下列分类的基准:

- 恒压过滤
- 恒速过滤
- 变压-变速过滤

离心泵

附有旁通控制装置的恒速泵

- 用人工方法梯阶式增加压力

图 6 为此四种类型过滤的流速对压力特征曲綫。曲綫上的箭头指出時間漸增的方向。恒压和恒速曲綫分别以垂直線和水平綫表示。使用离心泵时, 流速对压力曲綫依着泵送特征趋向于下倾。当使用附有旁通装置的恒速泵时, 可有两种可能性存在。在旁通管上装以压力安全閥时, 过滤将遵循恒速綫, 直至到达預定压力为止, 然后繼續在恒压下进行。如在旁通管上装以普通閥門, 过滤机将不断出料。随着压力增大, 循环量将增多; 过滤将成为变压-变速操作。最大压力决定于旁通管內的阻力, 并可用流过旁通管的最大泵送量作出測定。在實驗室試驗中, 熟练的操作者常用梯阶式增加压力来进行操作, 这样可以得到压力对流速或時間的任意关系。用人工調節小压滤机中的空气压力, 可以模拟各种泵送条件。

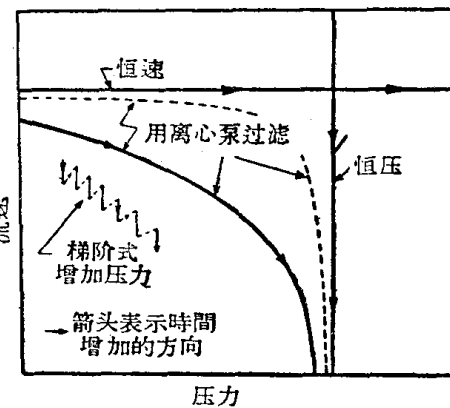


图 6 不同操作方法下流速对压力的关系

变压-变速过滤

例 1, 用附有离心泵的压滤机压滤滑石。此泵的泵送特性^[14]列于下表第一、二項中解算时所需的

* 原文恐有誤, 应为“ q_1 必須代以 $dv/d\theta$ 或者 w 必須代以方程式(18)”——譯者注

排出流速 加侖/(呎 ² ·分)	压 力, ψ 磅力/吋 ²	介质处的压力, ψ_1 磅力/吋 ²	$\psi - \psi_1$ 磅力/吋 ²
0	43.5	0	43.5
0.1	42.6	0.975	41.6
0.2	38.4	1.95	36.4
0.3	32.3	2.725	29.6
0.4	24.1	3.9	20.2
0.5	10.3	4.875	5.4
0.54	5.0	5.0	0
0.57	0	5.55	—

其他量为:

$$\mu = 0.001 \text{ 磅质量/(呎)(秒)}$$

$$\rho = 62.4 \text{ 磅质量/呎}^3$$

$$s = 0.003 \text{ 滤浆中固体分数}$$

$$R_m = (2.0) 10^{10} 1/\text{呎}$$

$$m = 2.5$$

$$\alpha_x = 8.66 (10^{10}) \psi_s^{0.506}$$

由于 s 非常小, 所以 J 接近于 1。将 v 改为 v_g , 加侖/呎²; q_1 改为 q_g , 加侖/(呎²·分); p 改为 ψ , 磅力/吋²; 代入方程式(32), 得

$$\frac{v_g}{7.48} = \frac{(32.2)(1-0.0075)(144)(\psi - \psi_1)^{0.494}}{(0.001)(0.003)(62.4) \left[\frac{q_g}{(7.48)(60)} \right] (8.66)(10^{10})(1-0.506)} \\ v_g = 1.90 \frac{(\psi - \psi_1)^{0.494}}{q_g} \quad (34)$$

介质处的压力与 q_g 联系, 得

$$\begin{aligned} \psi_1 &= \frac{0.001}{32.2} \frac{q_g}{(7.48)(60)} \frac{(2)}{(144)} (10^{10}) \\ &= 9.79 q_g \end{aligned} \quad (35)$$

以 ψ_1 校正出排压力, 得到上表中的最后项, 此表并包括有泵送特性。将方程式(34)变成对数形式, 得

$$\log q_g = 0.494 \log (\psi - \psi_1) + \log \frac{1.90}{v_g} \quad (36)$$

图 7, 以 $\log q_g$ 对 $\log(\psi - \psi_1)$ 的形式, 将泵送特性标绘于对数纸上。图 7 中画出了具有斜率为 0.494 相应于方程(36)的一系列直线, 而它们与泵送曲线的交点则给出了压力降对流速的数值。从沿着 $\psi - \psi_1 = 1$ 线上的截距, 可以得出全部体积, 它们等于 $1.90/v_g$ 。例如: $\psi - \psi_1 = 30$ 磅力/吋², 泵送压力应为 32.9 磅力/吋²; 由截距为 0.05 得出 $v_g = 37.5$ 加侖/呎²。其他的 v_g 值也可在图中找得, 时间可按方程式(29)计算。

恒压过滤

如果压力恒定而 $q_1 = \frac{dv}{d\theta}$, 则方程式(28)将可变成

$$v = \frac{g_c(1-ms)}{\mu s p J} \int_0^{p-p_1} \frac{dp_s}{\alpha_x} \quad (37)$$

此处 $g_c p_1 = \mu R_m dv/d\theta$ 。由于 p 和 s 都是常数, 因子 J 将为常数代入方程式(31)所给出的积分值, 得

$$\frac{dv}{d\theta} = \frac{g_c(1-ms)}{\mu s p \alpha_0(1-n)} \frac{(p-p_1)^{1-n} - n p_1^{1-n}}{J_v} \quad (38)$$

此处 p 必须用每平方呎磅数为单位。假如 p_1 可以略而不计, 则 v 对 θ 的一般解法可从变压-变速过滤的类似方法得到。图 7 的泵送曲线可以代之以压力降

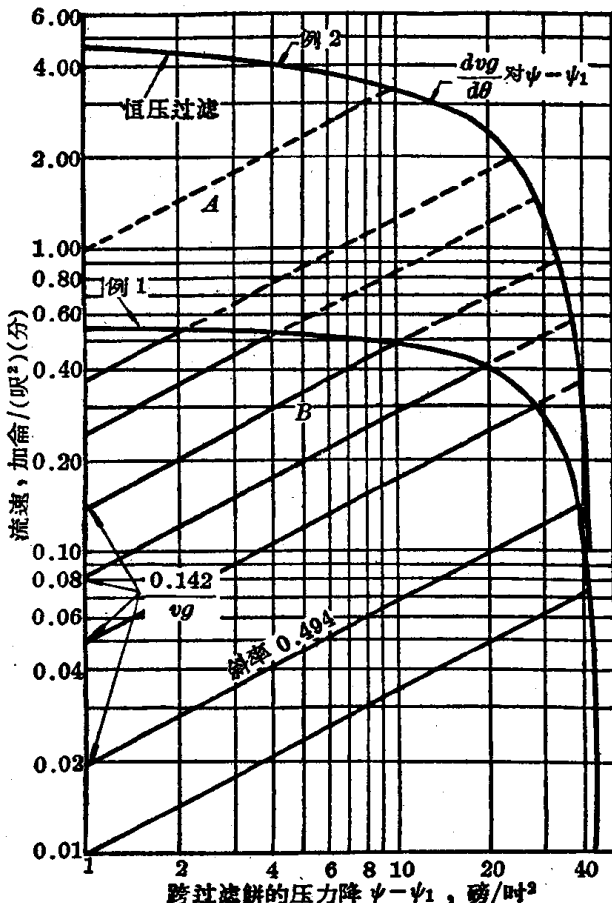


图 7 解例 1、2 用的曲线图

对流速的曲线, 或者代之以 $p - p_1 = p - (\mu R_m/g_c) dv/d\theta$ 对 $dv/d\theta$ 的曲线。这样, 可以作出斜率为 $(1-n)$ 的线, 并且体积和时间的曲线可以用相同方法得出。

举例说明这个程序是有价值的, 特别是对 p_1 在总压力中占大部分的短时间过滤。应该注意到 m 和 J 都是可变的, 尤其滤浆较浓的时候。如 p_1 较小

而过滤操作是漫长的，可将方程式(38)积分而得

$$\frac{v^2}{2} = \frac{g_c(1-ms)}{\mu s \rho J \alpha_0} \frac{p^{1-n}}{1-n} \quad (39)$$

此处 p 必須用每平方呎磅數作單位。

n 值較大的可壓縮物料，其流速隨着壓力而增加的量，較不可壓縮物料所增加的量為小，這是由於幕次 $1-n$ 的影響。按照方程式(39)，對不可壓縮物料 ($n=0$) 增加壓力一倍，則相同體積濾液所需要的過濾時間恰為一半。對 $n=0.506$ 的似滑石物料同樣增加一倍壓力，過濾時間的縮減將是 30%，而不是 50%。

例 2，將例 1 的物料置於恒壓 43.5 磅力/吋² 下過濾。制得 $q_g = dv_g/d\theta$, ψ 及 ψ_1 的新表為：

過濾流率 加侖/(呎 ²)(分)	壓 力 ψ , 磅力/吋 ²	介質處的壓力 ψ_1 , 磅力/吋 ²	$\psi - \psi_1$ 磅力/吋 ²
4.6	43.5	43.5	0
4.0	43.5	39.0	4.4
3.0	43.5	29.3	14.2
2.0	43.5	19.5	24.0
1.0	43.5	9.8	33.7
0.5	43.5	4.9	38.6
0.3	43.5	2.9	40.6
0.1	43.5	1.0	42.5

以 $dv_g/d\theta = q_g$ 對 $\psi - \psi_1$ 标繪於圖 7 上。總壓力 ψ 為常數 43.5 磅力/吋²，介質處壓力由方程式(35)來確定。取得 v_g 及時間的手續與例 1 同。

當跨過濾餅的壓力降為 10 磅力/吋² (流過介質的壓力降為 $43.5 - 10 = 33.5$ 磅力/吋²) 時，過濾情況以線 A 表示。由截距得濾液体積為 0.14 加侖/呎²。

在過濾這些液体體積時，過濾流速由 4.6 降至 3.8 加侖/(呎²)(分)。粗略算得時間約為 0.04 分鐘。

當達到線 B 時，流速降至 0.08 加侖/(呎²)(分)；跨過濾餅的壓力降數值達 34 磅力/吋²。濾過的體積為 1.0 加侖/呎²，而全部時間約 5 分鐘。在流速對跨過濾餅的壓力降曲線的頂部一段區域內，過濾進行得很快。

恒速過濾

如果流速恒定，方程式(29)成為

$$v = q_1 \theta \quad (40)$$

結合方程式(28)及(31)，得

$$(p - p_i)^{1-n} - np_i^{1-n} = \frac{\mu s \rho}{g_c(1-ms)} \alpha_0 (1-n) J q_1^2 \theta \quad (41)$$

此处 p 必須用每平方呎磅數為單位。

此方程式對 $p > p_i$ 是有效的。在許多過濾過程中，項 np_i^{1-n} 可以略而不計。因子 J 一般不是常數，並且應當包括在壓力對時間關係的計算之內。

在圖 8 中，壓縮性的影响是以壓力對相對時間作圖來說明，以 n 的不同值作標度。 $n < 0.1$ 時，可用一直線作為對應壓力範圍內的近似數據。當 n 增加到 0.3 時，除了壓力 5 到 10 磅力/吋² 外，壓力對時間的關係，很難作為線性函數來表示。當 n 數值接近 0.7 時，曲線的特徵是開始部分平坦，隨後斜率迅速陡增。在 $n > 0.7$ 範圍內，曲線僅有定性的數值。 $n = 1$ 以上時，根據方程式(41)，在有限時間內，壓力將達到無窮大^[14]。實際上，此方程式指出，在恒速下過濾壓縮性很大的物料時，壓力在一有限時間內，迅速增加到很大的數值。在恒壓或變壓-變速過濾時，存在著一相應點，該點上流速降至一非常小的數值，這就是說那時已出現“填塞”了 (譯者按：意指那時過濾過程已經接近停止)。

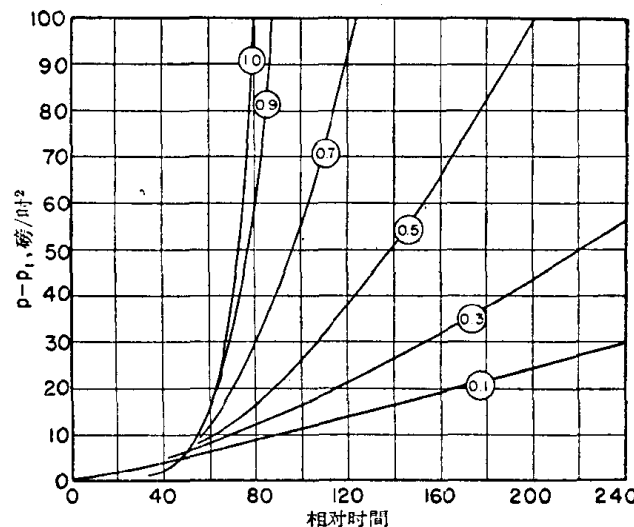


圖 8 恒速過濾下，壓縮性在壓力對時間曲線的影響

濃濾漿

濾漿較濃時， J 對 p 及 s 的關係如何，有必要進行了解。Shirato 及 Tiller^[20] 說明了如何利用孔隙率及濾阻依嚴格的方程來計算 J 的方法。圖 9 中以香港紅陶土^[18] 為對象標繪出 J 對 p 和 s 的函數關係。當 s 增加時，校正因子隨着降低，並且受壓力的影響較小。為了對這種類型的陶土進行計算，需要有 α_x 和 ϵ_x 對 p_s 的關係式。使用下列關係可以求得實驗數據的近似值

$$\alpha_x = 1.01 \times 10^{12} \psi_s^{0.832} \quad (42)$$

$$\epsilon_x = 0.695 \psi_s^{0.0588} \quad (43)$$

$$1 - \varepsilon_x = 0.32 \psi_i^{0.095} \quad (44)$$

当 ψ_i 接近 0 时, 极限值为 $\varepsilon_i = 0.72$, $\alpha_i = 0.85(10^{12})$ 呎/磅质量, $\psi_i = 0.6$ 磅力/吋²。在方程式 (42) 中, α_0 的数值受到滤浆浓度的影响。

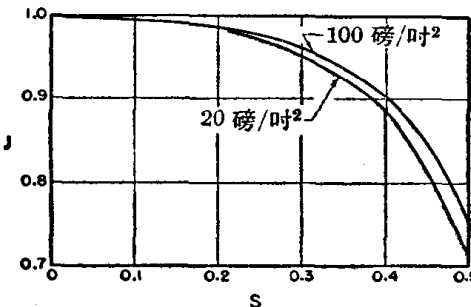


图 9 香港红陶土恒压过滤时 J 对 s 的关系

滤浆

例 3 将滤浆浓度为 40% 的香港红陶土, 以恒压 50 磅力/吋² 在一介质阻力可以略而不计的过滤机中进行过滤。求时间与体积间的关系, 如有关参数如下

$$\begin{aligned} v_g &= \frac{2g_c(1-ms)}{\mu s \rho \alpha_0 J} \frac{144\psi^{1-n}}{1-n} \theta \\ &= \frac{2(32.2)(1-0.612)(50^{0.668})(144)}{(0.001)(0.4)(62.4)(1.01)(10^{12})(0.902)(0.668)} (60)\theta_m = 1.86(10^{-4})\theta_m \end{aligned} \quad (47)$$

例 4, 前例香港红陶土以恒速 $1.2(10^{-5})$ 呎³/(吋²·秒) 进行过滤。求压力对时间的关系。

方程式 (41) 中使 p_1 及 p_i 为 0, 得

$$\begin{aligned} 144\psi^{1-n} &= \frac{\mu s \rho}{g_c(1-ms)} \alpha_0(1-n)J q_1^2 \theta \quad (49) \\ \psi^{0.668} &= \frac{(0.001)(0.4)(62.4)}{32.2(1-0.4m)(144)} (1.01)(10^{12})(0.668) J \frac{(1.44)}{10^{10}} (60)\theta_m \end{aligned} \quad (50)$$

此处 θ_m 的单位为分钟。重排后, 得

$$\theta_m = 30.94 \frac{(1-0.4m)}{J} \psi^{0.668} \quad (51)$$

m 及 J 的数值必须取作 p 的函数。所得数值表示如下:

ψ	ε_{av}	m	$(1-0.4m)$	J	$\psi^{0.668}$	θ_m
20	0.635	1.655	0.328	0.888	7.40	91.5
40	0.610	1.589	0.364	0.894	11.86	149.4
60	0.595	1.553	0.379	0.899	15.41	201.0
80	0.584	1.527	0.389	0.902	18.67	249.0
100	0.575	1.508	0.397	0.904	21.68	294.6

符号命名

A =横截面积, 呎²

A_c =颗粒间的接触面积, 呎²

μ =0.001 磅质量/(呎)(秒)

s =0.4

p =62.4

n =0.332

$\alpha_0 = 1.01 \times 10^{12}$ (用磅/吋²)

$\beta = 0.095$

$B = 0.32$

$p_s = 166$ 磅质量/呎³

为了使用方程式 (39), 必需从图 9 取得因子 J 值, 从方程式 (15) 取得 m 值, 而 ε_{av} 则可由方程式 (10) 算出如下

$$\begin{aligned} \varepsilon_{av} &= 1 - B \left(1 - \frac{\beta}{1-n} \right) p^\beta \\ &= 1 - 0.32 \left(1 - \frac{0.095}{0.668} \right) \times 50^{0.095} = 0.602 \end{aligned} \quad (45)$$

计算 m

$$m = 1 + \frac{(62.4)(0.602)}{(166)(0.398)} = 1.57 \quad (46)$$

J 值为 0.902。代入方程式 (39)

此处以 ψ 代 p , 强调了单位为磅力/吋²。在压力渐增后, m 与 J 都随时间而变。由于方程式 (49) 是在 $(1-ms)$ 为常数的假定下展开的, 因此在本例中仅为一近似值。欲作较为精确的处理, 可以使用以前杂志报导过的公式^[17]代入方程式 (49), 得

B =以方程式 (10) 定义的常数, 因次无物理意义

F_s =固体压缩力, 磅力

g_c =换算因子, 磅达/磅力, (磅质量)(呎)/(磅力)
(秒²)

J =滤阻的校正因子, 平均流速对介质处流速之比,
 q_{av}/q_1 , 无因次

L =滤饼厚度, 呎

L_{eq} =相当于介质阻力的滤饼厚度, 呎

m =滤饼湿质量对干质量之比, 无因次

m_i =在滤饼无穷小表面层处的 m 值

n =压缩系数, 方程式 (20), 因次无物理意义

p =使用的过滤压力, 磅力/呎²

p_i =低压力, 在此压力以下 α_x 和 ε_x 为常数, 磅力/呎²

p_s =距离介质为 x 处的固体压缩压力, 也可作为总压
缩压力, 磅力/呎²

p_x =距离介质为 x 处的水力压力, 磅力/呎²

p_0 =任意压力, 磅力/呎²

p_1 =在介质与滤饼界面上的压力, 磅力/呎²

q_g =在介质与滤饼界面上的流速,加侖/(呎²)(分)
 q_i =在滤饼无穷小表面层上的 q_x 值,呎³/(呎²)(秒)
 q_x =距离介质为 x 处滤饼内液体流速,呎³/(呎²)(秒)
 q_1 =在介质与滤饼界面上的 q_x 值,呎³/(呎²)(秒)
 $q_{av}=q_x$ 的平均值
 R_m =介质阻力, 1/呎
 s =滤浆内固体分数,无因次
 v =滤液体积,呎³/呎²
 v_g =滤液体积,加侖/呎²
 x =离开介质的距离,呎
 w =每单位面积干固体的全部质量,磅质量/呎²
 w_c =相当于介质阻力的固体质量,磅质量/呎²
 w_x =距离介质为 x 处每单位面积的固体质量, 磅质量/呎²
希腊字母
 α =平均比阻,呎/磅质量
 α_R =流速变化未加校正过 α 的平均值
 α_x =距离介质为 x 处的比阻值, 該处固体压缩压力为 p_s , 呎/磅质量
 α_0 =方程式(20)中的常数, 因次无物理意义, p_s 为磅力/呎²
 β =方程式(9)中的指数,因次无物理意义
 ϵ_i =在无穷小表面层上的孔隙率,无因次
 ϵ_x =距离介质为 x 处的孔隙率,无因次
 ϵ_0 =方程式(7)中的常数,因次无物理意义
 ϵ_1 =与介质相邻层内的孔隙率,无因次
 ϵ_{av} =平均孔隙率,无因次
 ϵ_{av0} =在压力为 p_0 时 ϵ_{av} 的值,无因次
 ϵ_{avx} =位于介质和距离 x 之间的滤饼平均孔隙率, 无因次
 θ =时间,秒
 θ_m =时间,分
 λ =方程式(7)中的指数,因次无物理意义
 ψ =施加的压力,磅力/吋²
 ψ_1 =在介质与滤饼界面上的压力,磅力/吋²

参考文献

- [1] Coimbra, A. L., Ph. D., thesis, Vanderbilt University, Nashville, Tenn., 1949.
- [2] Cooper, Harrison, M. S. thesis, University of Houston, Tex., 1958.
- [3] Grace, H. P., Chem. Eng. Progr. **49**, 303, 367 (1953).

- [4] Grace, H. P., "Art and Science of Liquid Filtration", 50 th Anniversary Meeting of A. I. Ch. E., 1958.
- [5] Grace, H. P., A. I. Ch. E. Journal **2**, 307, 316 (1956).
- [6] Hutto, F. B., Jr., Chem. Eng. Progr. **53**, 328 (1957).
- [7] Jahreis, Carl, "Role of Pumping Equipment in Liquid Filtration", Atlanta Meeting, A. I. Ch. E., 1960.
- [8] Kottwitz, Frank, Boylan, D. R., A. I. Ch. E. Journal **4**, 175 (1958).
- [9] Kozeny, J., Sitzer-Akad. Wiss. Wien, Math. naturw. Klasse **136**, 11a, 271 (1927).
- [10] Ruth, B. G., Ind. Eng. Chem. **38**, 564 (1946).
- [11] Scheidegger, A. E., "Physics of Flow-Through Porous Media; MacMillan, New York, 1957.
- [12] Shirato, Mompei, D. Eng. thesis, Nagoya University, Nagoya, Japan, 1960.
- [13] Shirato, Mompei, Okamura, S., Chem. Eng. (Japan) **19**, 104, 111 (1955); **20**, 98, 678 (1956); **23**, 11, 226 (1959).
- [14] Tiller, F. M., A. I. Ch. E. Journal **4**, 170 (1958).
- [15] Tiller, F. M., Chem. Eng. Progr. **49**, 467 (1953).
- [16] Ibid., **51**, 282 (1955).
- [17] Tiller, F. M., Cooper, Harrison, A. I. Ch. E. Journal **6**, 595 (1960).
- [18] Tiller, F. M., Cooper, Harrison, "The Role of Porosity in Filtration V. Porosity Variation in Filter Cakes", A. I. Ch. E. Journal, to be published.
- [19] Tiller, F. M., Shirato, Mompei, "The Role of Porosity in Filtration VI, New Definition of Filtration Resistance", A. I. Ch. E. Journal, to be published.
- [20] Tiller, F. M., Shirato, Mompei, "The Role of Porosity in Filtration VII, Calculation of Flow Rate Variation in Filter Cakes", A. I. Ch. E. Journal, to be published.

黃庸斌譯 王守恒校

自 "I/EC" **53**, No. 7, 529~537 (1961)

2. 滤饼的阻力与压缩性

Resistance and Compressibility of Filter Cakes

H. P. Grace

在处理滤饼过滤问题中唯一可用而可靠的工具，就是过滤速度的公式。此公式系由毛细管中粘滞流动的 Poiseuille 定律直接发展出来，并由许多工作者——如 Ruth^[60], Sperry^[62], Carman^[11], Lewis^[40] 与 Bonilla^[7] 等——用实际滤饼在等压与等速过滤情况下的试验所证实。此公式虽被写成很多形式，但最简单的是下面的一般微分形式

$$\frac{dV}{d\theta} = Q = \frac{A g_c \Delta p}{\mu \left(\frac{\alpha w V}{A} + R_m \right)} \quad (1)$$

式中最重要的一项是滤饼的平均比阻 α ，因为它变化很大，甚至当过滤同一悬浮液时也是如此。对于某一物体的滤饼平均比阻的控制因素，目前还了解得非常有限，一般仍不可能从次级分颗粒固体的物理性质来断定 α 值。关于这个重要的变量我们只明确了是在大多数化学滤饼中它随着过滤压力而变化^[53, 13, 48, 39, 6]且当滤压低于 50 磅/吋²时，对于某一物料和悬浮液的情况下它的变化，可以满意地表示如下式：

$$\alpha = \alpha_0 + \alpha' (4p_c)^s \quad (2)$$

式中指数 s 在中等的滤压下是常数，称为“滤饼压缩系数”，因为 s 为正值时，伴随着滤压的增加而使滤饼发生物理压缩。

滤饼平均比阻 α ，曾由其它领域的许多工作者在通过细粉物料填料层的粘滞流动中以更基本的观点钻研过，其中有 Carman^[12, 5], Fair 与 Hatch^[29], Fair^[28], Hatch^[31], Sullivan 与 Hertel^[55], Sullivan^[54], Keyes^[34], Kozeny^[35], Rose^[47], Coulson^[19], Anderson 与 Warburton^[2], Brownell^[10], Durwez 与 Green^[24], Iberall^[33], Martin^[41], Arnell^[8], Furnas^[30], Carman 与 Arnell^[16], Carman 与 Malherbe^[17], Wyllie 与 Rose^[57], Emersleben^[27], Lea 与 Nurse^[36], Mason^[42], Brown^[6] 与 Dodd^[23]。这种研究工作在小颗粒方面最成功的结果是

Kozeny-Carman 公式，这个公式是通过假设分离颗粒为完全不规则的堆积，并通过利用以空隙百分比与颗粒比表面积所表示的平均水力空隙直径，对颗粒层的粘滞流动加以推导出来。在推导中并没有假定床层物料是球状或是均匀的颗粒，也没有假设特定的颗粒形状或粒度分布，因此式中没有出现这类参数。此式一般写成如下形式：

$$u = \frac{\varepsilon^3}{(1-\varepsilon)^2 K S_0^2} \cdot \frac{(4p_c) g_c}{\mu L} \quad (3)$$

理论上常数 K 是颗粒形状与取向（即流动通过的有效截面形状）和实际流动路程长度对滤饼厚度的比例的函数；这已为 Carman^[12]，及以后的 Sullivan 与 Hertel^[55], Sullivan^[54] 及 Coulson^[19] 以定向堆积的床层进行试验取得证实。对于无规则堆积的不可压缩层（即堆积层或滤饼截面上至下的孔隙率是常数），曾由 Carman^[15], Fair 与 Hatch^[29], Hatch^[31], Lea 与 Nurse^[36] 及 Blaine^[5] 用球体与非球体颗粒的试验，证明 $K=5 \pm 10\%$ 。在 Carman 的工作中，用液体渗透率测定法证实此值对于颗粒直径小至 5μ 是有效的，并且指出此值在不同粒度混合层中也是有效。这些事例中 K 值的相对恒定或许是由于床层内极无规则的堆积所致。液体流经次级分颗粒床层的研究工作，则做得很少，而对于极限粒度在 5μ 以下的颗粒，实际上也没有研究过。滤饼过滤中很多物料的极限粒度远在 5μ 以下，而这些粒度一般就是构成这类所谓形成可压缩滤饼的物料。

单独考虑滤饼时，过滤速度式(1)可与 Kozeny-Carman 关系式(3)合并，写为

$$Q = \frac{\varepsilon^3 \rho_s}{(1-\varepsilon) K S_0^2} \cdot \frac{A (4p_c) g_c}{\mu \left(\frac{WV}{A} \right)} \quad (4)$$

合并后可以根据滤饼的性质来表示滤饼平均比阻 α ：

$$\alpha = \frac{(1-\varepsilon) K S_0^2}{\varepsilon^3 \rho_s} \quad (5)$$

根据实际过滤所搜集的数据，把这种方法施用于颗粒极细的可压缩滤饼时，实验上的困难是很多的。这些困难发生的事是由可压缩滤饼的过滤时，滤饼颗粒上的机械压应力沿滤饼的深度发生变化，使滤饼孔隙率与比阻也随着沉积滤饼的深度发生变化^[6,48,18]。这样过滤公式中的 α 项就可确定为滤饼平均比阻，而在式(5)中必须依据平均孔隙率来表示。采用简单方法从过滤数据来测出平均孔隙率的正确值是不明确的。图3中曲线 I 示出滤饼孔隙率与机械压应力随滤饼厚度的变化。此数据系从切开实际滤饼后对截面上孔隙率进行直接测定得到。

在可压缩滤饼中，孔隙率与机械压应力的变化，是由于跨过滤饼的液压降是产生滤饼内压应力的主要力所引起。当在垂直平面上进行压力过滤时，滤饼中任一点上机械压应力与其附近液压（指滤饼中下流一侧的滤液压力）之和等于跨过滤饼的液压降。在此简单情况下，滤饼平均比阻与饼厚无关。但在更复杂情况下就不是这样。

在许多方面，整个滤饼深度中的孔隙率大幅度变化的情况是化学物质滤饼在过滤中独具的特点。在油井工作中，供渗透率测定的是泥心^[44,45]，其孔隙率是相对均匀的，因为它已被上面土层的重量压实，而在测定渗透率时不再受相对小的液压降的影响。又在为了测定细粉料的比表面积而进行习用的空气或液体渗透率定时，一般都在测定渗透率前，先把粉浆用机械压缩成饼；测定渗透率时的液压降，比之起始用于机械压缩的压力已小至可以略而不计，故整个床层厚度中的孔隙率已是近乎均匀

的^[17]。在筛分度或粒度更大的床层中进行渗透率测量时，液体流动所产生的压力影响，即使在高流速时也是很小的。

研究的方法

根据上述这些因素，可为压缩性滤饼得出一个整个深度具有均匀孔隙率的方法而测出滤饼的渗透率与孔隙率作为机械压应力的函数，似乎是把颗粒床层理论运用到可压缩滤饼的一个实用方法。此法曾由 Heertjes^[32], Miller^[43], 与 Ruth^[49] 提出，后者并表明曾用此法研究过单一材料的滤饼。

本文所报告的实验工作是通过压缩渗透率法在滤饼性能研究中的发展和广泛应用，来着手进行滤饼比阻 α_p 的性质与变化的直接研究。简单地讲，此法是在均匀施加压应力的条件下，对滤饼平均孔隙率 ϵ 与滤饼平均比阻 α 进行测定，从而使相应各点上的 α_p 与 ϵ_p 值在整个滤饼结构中基本上是一常数。因而式(5)变为

$$\alpha_p = \frac{(1 - \epsilon_p) K S_0^2}{\epsilon_p^3 p_s} \quad (6)$$

式中 S_0 可由测定数据直接算出。分析此法后得知，研究中得出的 α_p 与 ϵ_p 随压缩压力 p_s 而变化，有可能在实际过滤中所需要任何 $4p_c$ 值的情况下计算出滤饼平均比阻 α 。对纵向过滤平面上进行压滤的简单场合，将涉及数字积分，并根据下式

$$\int_0^{p_s - p_1} \frac{dp_s}{\alpha_p} = \frac{p_2 - p_1}{\alpha} \quad (7)$$

用压缩-渗透率数据解出 $1/\alpha_p$ 对 p_s 的关系。在涉



图1 改进压缩-活塞渗透率试验组件，并采用0~30磅/吋²压缩压力的对重装置，
30~2,700磅/吋²压缩压力用的是“Carver”水压机

及流过滤饼受到摩阻损失以外的压缩压力的更复杂过滤情况下,利用压缩-渗透率法数据来解决这种过滤问题所需要的公式,将在以后列出。

实验装置

图1示本项研究所应用的压缩-渗透率法试验组件的整体与拆卸零件。组件中包括一个具有多孔排水板的底座,一个内径为1.5吋装有千分表的空圆筒,和一个具有多孔头的活塞。加于活塞的机械压力在60磅内是用静重,在达5,000磅时是用Carver

水压机。在后期工作中,对低压下测定时,则用平衡式不锈钢活塞于低达1.1磅/吋²的压缩压力来代替较轻的Lucite型丙烯酸树脂活塞。这样就可在运转中避免更换活塞,使滤饼受到搅乱,而得到较为一致的结果。活塞与底板是由C级多孔不锈钢制成,衬以一层粗8目筛网,并以切割好的排水板来支住整个组件,随时皆可拆卸。图2所示装有E & A No. 615或613号滤纸的组件进行空车试验的校正曲线,可为校正设备伸缩、滤板压缩压力以及底座与活塞端阻力提供方法。

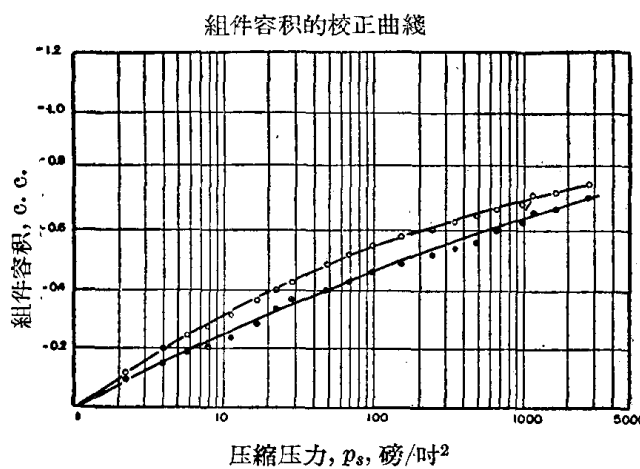


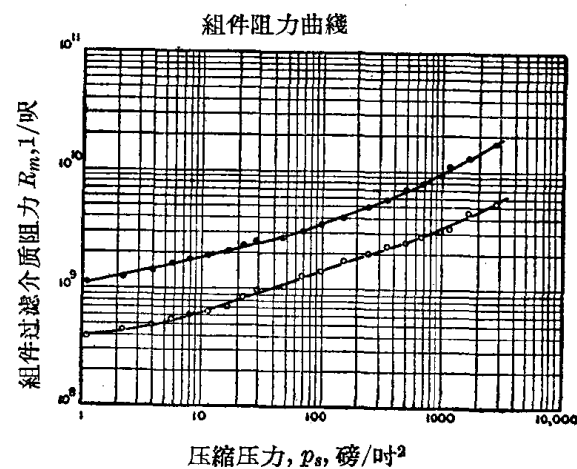
图2 空车压缩-渗透率法数据

- C級多孔性頂底板；2層E & A No. 615 濾紙
- C級多孔性頂底板；2層E & A No. 613 濾紙

实验的操作程序

为了要取得尽可能多的有关物理性质资料,研究中以17种物料在压缩-渗透率法外采用几种别的方法进行检验。干态物料用电子显微镜进行检验,并拍下图4至7所示的显微照片来确定极限颗粒的粒度与形状。还进行了氮气吸附测定,并用Brunauer-Emmett-Teller法算出每种物料的比表面积值。在大多数情况下,干态物料都是用Fisher次筛细度测定计进行空气渗透率的测定,并用Arnell^[4]及Carman与Arnell^[16]的方法及其所提出的滑移流动校正法,取滑移系数 $z=3.5$ 来计算比表面积。表1示出各种物料的数据。

所用悬浮液一般含50克固体/升;对高密度的材料如镍基铁及钨,则用较高的浓度。悬浮液大多是以蒸馏水或0.01克分子电解质溶液配制,有几种是在工厂中进行过滤的悬浮液,其确切的电解质含量不知。将新配成的悬浮液进行机械搅拌30分钟,并陈化约1小时,而用于压缩-渗透率法测定与比较过滤测定。将十七种筛分不同的物料,依不同絮凝程度



制成悬浮液,并研究所制得滤饼的性质。

在本文的压缩-渗透率法测定中,将悬浮液等分成几个部分加入,组件筒体内在排水面下施加1吋汞柱的低真空,饱和的湿滤饼就沉积在底部排水面的滤纸上。滤饼沉积后,将滤液加入组件筒体中,直至滤饼上面的空间装满为止。然后将活塞的下端蒙上一层滤纸,再插入筒体,让它沉到滤饼面上,这样就在饼上直接施加了机械压力。在每次增加机械压力后,就用有一定压头(20~60厘米液柱)的滤液通过滤饼,并用5毫升微量滴定管测出滤液收集率,饼厚则由千分表读出。将图2所示空车试验的校正曲线运用于这些数据后,算出 a_p , ϵ_p 与相对于 p_s 的 s_0 值。表2示出滑石粉C的数据及计算例子。

在这个组件的设计中,组件及过滤介质阻力,约为絮状碳酸钙滤饼总阻力的1%,在更难过滤的滤饼中,其百分率当更少。在所有情况下,饼厚在整个压缩周期中,皆在23.0~7.0毫米范围内,饼直径是38.1毫米。滤饼在组件内受到压缩时的机械应力均匀度,是由碳酸钙滤饼在承受到350磅/吋²机械压力以后切割出截面,然后直接测出截面上的

表1 評價物料用的比表面積測定值

材 料	干 粉 的 測 定			液 体 壓 縮-滲 透 率 法 测 定		
	費 氏 次 篩 細 度 的 测 定 計*		氮 吸 附 S_0 cm ² /c.c. 固体	悬 浮 液 情 况	ϵ_p	有 效 S_0 cm ² /c.c. 固 体
	ϵ_p 空隙百分比	S_0 cm ² /c.c. 固体				
Dow 聚苯乙烯浆‡	0.37	109000	114500	0.01M Al ₂ (SO ₄) ₃ 48 克固体/升	0.875 0.442~0.373	52600 163000
鐵基鐵粉, E 級**	0.456	12480	17900	0.01N NaOH 225 克固体/升	0.457 0.401	14300 16500
鐵基鐵粉, SF¶	0.446	26700	37400	0.01N NaOH 225 克固体/升	0.423 0.356	32200 33700
C 滑石粉	0.713	130000	315000	0.01M Al ₂ (SO ₄) ₃ 50 克固体/升	0.83 0.44 0.34	123000 315000 410000
鎢粉 GE 級 UT-238	0.766	57400	149000	0.01N NaOH 315 克固体/升	0.810 0.569 0.49(外推)	67000 127000 149000
超雪白 CaCO ₃	0.702	72400	162000	蒸 餾 水 50 克固体/升 0.01M Na ₄ P ₂ O ₇ 50 克固体/升	0.779 0.563 0.48(外推) 0.692 0.544	77200 128500 162000 104000 163000
Ti-Pure R-110 TiO ₂	0.714	208500	337000	蒸 餾 水 50 克固体/升 0.01M Na ₄ P ₂ O ₇ 50 克固体/升	0.772 0.572 0.611 0.504	201000 261000 285000 274000
E & A 高岭土	0.522	82500	173000	0.01M Al ₂ (SO ₄) ₃ 50 克固体/升 0.01M Na ₄ P ₂ O ₇ 50 克固体/升	0.577 0.344 0.568 0.352	114200 160000 314000 278000
G-60 Dareo 活性炭	0.789	113300	12300000	0.01M Na ₄ P ₂ O ₇ 50 克固体/升	0.85 0.65	60000 1100000
鐵藍顏料	0.668	60000	841000	厂过滤进料浆	0.943 0.638	1120000 1350000
細鈦鐵矿粉 TFE-4	0.647	103500	164000	0.01M Al ₂ (SO ₄) ₃ 100 克固体/升	0.862 0.503 0.39(外推)	82000 131000 164000
A型 Linde 氧化鋁	0.84	62500	252000	0.01M Al ₂ (SO ₄) ₃ 50 克固体/升	0.87 0.84 0.68 0.57(外推)	43000 59000 200000 252000
標準 Super-Cel (精制硅藻土助滤剂的商品名称)	0.805	57000	114000	蒸 餾 水 50 克固体/升	0.843 0.72	73000 135000
Solka-Floc BW-200 (精制木纤维素的商品名称)	0.696	12500	12600	0.01M Al ₂ (SO ₄) ₃ 50 克固体/升	0.835 0.55 0.34	1500 15000 65000
A型 ZnS 悬浮液	—	—	—	pH=9.10	0.898 0.794	252000 937000
B型 ZnS 悬浮液	—	—	—	pH=9.07	0.890 0.730	588000 2400000
細石英	—	—	—	厂过滤进料浆	0.978 0.907	876000 7500000

* 已作滑移流动校正

† 假設 $K=5$ ‡ $S_0=136000 \text{ cm}^2/\text{c. c. 固体}$, 由电子显微照相法算出** $S_0=10450 \text{ cm}^2/\text{c. c. 固体}$, 由粒度分布的沉降测定法算出¶ $S_0=27800 \text{ cm}^2/\text{c. c. 固体}$, 由粒度分布的沉降测定法算出